

The study of the collision energy loss of the electron and positron in two elements silicon and germanium and compounds of sodium iodide, water, dry air near sea level and A-150 Tissue-Equivalent Plastic.

دراسة خسارة الطاقة التصادمية للألكترون والبوزترون في العنصرين السليكون والجرمانيوم والمركبات يوديد الصوديوم والماء والهواء الجاف ونسيج البلاستيك A-150 .

م.م. شهله عبد السادة كاظم

shahlaa.alruhaimi@uokufa.edu.iq

جامعة الكوفة – كلية التربية للبنات – قسم الفيزياء

الخلاصة :-

تم في هذا البحث دراسة قدرة الإيقاف الالكترونية للجسيمات المشحونة الخفيفة (الالكترونات والبوزترونات) المتفاعلة مع عنصرين هما السليكون والجرمانيوم ومع المركبات يوديد الصوديوم والماء والهواء الجاف عند مستوى سطح البحر ونسيج بلاستيك A-150 ضمن مدى الطاقة [0.01-1000] MeV ، وقد تم مقارنة نتائج دراسة قدرة ايقاف الالكترونات في تلك العناصر والمركبات مع برنامج ester لنفس العناصر والمركبات وكذلك مقارنة نتائج دراسة قدرة ايقاف البوزترونات مع النتائج المستحصلة من قبل M.J. Berger and S.M. Seltzer وقد أظهرت توافقاً جيداً مع نتائج كلا المصدرين. الكلمات المفتاحية: - قدرة الإيقاف الالكترونية ، الالكترونات ، البوزترونات ، ester .

Abstract :-

In this research study of the electronic stopping power of the light charged particles (electrons and positrons) interact with two elements silicon and germanium and with compounds of sodium iodide, water , dry air near sea level and A-150 Tissue-Equivalent Plastic within the range of energy [0.01-1000] MeV, the results of a study have been compared with the preview work electronic stopping power in these elements and compounds with ester program of the same elements and compounds as well as the results of a study comparing the electronic stopping power of Positron with the results obtained by M.J. Berger and S.M. Seltzer , good agreement with the results of both sources have shown .

Key words: - electronic stopping power , electrons , positrons , ester .

1.- المقدمة:- Introduction

تعرف قدرة الإيقاف بأنها الطاقة المفقودة للجسيمة الساقطة خلال وحدة المسار نتيجة لاختراق الجسيمات المشحونة المعجلة لمادة الوسط وتفاعلها مع نوى والكترونات ذرات مادة ذلك الوسط . وعليه يمكن تقسيمها الى قدرة الإيقاف التصادمية وهي معدل خسارة الطاقة لكل وحدة مسار بسبب التصادمات غير المرنة بين الجسيمات المشحونة الساقطة وبين الكترونات ذرات الهدف مسببة تأين أو تهيج الوسط ، و قدرة الإيقاف الإشعاعية وهي معدل خسارة الطاقة لكل وحدة مسار بسبب التفاعلات المرنة لنوى ذرات الهدف مع الجسيمات الساقطة لتعطي اشعة الكبح حيث تعطى قدرة الإيقاف الكلية بالعلاقة [2][1] :

$$\left(-\frac{dE}{dx}\right)_{tot} = \left(-\frac{dE}{dx}\right)_{coll} + \left(-\frac{dE}{dx}\right)_{rad} \quad \dots (1)$$

إذ إن

$\left(-\frac{dE}{dx}\right)_{tot}$ تمثل قدرة الإيقاف الكلية .

$\left(-\frac{dE}{dx}\right)_{coll}$ تمثل قدرة الإيقاف عن طريق التصادمات .

$\left(-\frac{dE}{dx}\right)_{rad}$ تمثل قدرة الإيقاف عن طريق الإشعاع .

وتقسم الجسيمات المشحونة الى جسيمات مشحونة ثقيلة كجسيمات الفا والديوترونات والبروتونات وجسيمات مشحونة خفيفة كالالكترونات والبوزترونات [3] .

ويعد العالم بور أول من حسب قدرة الإيقاف الالكترونية عام 1913 وقد استخدم في حساباته الميكانيك الكلاسيكي . وأول من درس قدرة الإيقاف باستخدام الميكانيك الكمي هو العالم هانز بيتا Bethe عام 1930 [4].

ولقد تبين أن قدرة الإيقاف للجسيمات الثقيلة والخفيفة تعتمد اعتماداً رئيسياً ومباشراً على شحنة وسرعة القذيفة إذ أن قدرة الإيقاف الخطية تتناقص بزيادة الطاقة للجسيمة أي إنها تتناسب تناسباً عكسياً مع طاقة القذيفة [5]. وان دراسة وحساب قدرة الإيقاف للجسيمات المشحونة من المواضيع المهمة التي شغلت عدداً من الباحثين لاهميتها في جميع المجالات الطبية والصناعية والصحية والتفاعلات النووية والكيمياء الإشعاعية وتصميم الكواشف [6] حيث قام الباحث Singh Hemlata وآخرون بوضع علاقة تجريبية لقدرة الإيقاف الكلية بحدين من الطاقة الكلية (الحركية + طاقة كتلة السكون) للإلكترونات والبوزترونات من 20 keV إلى 50000 وتم ملائمتها ببارامترات تقريبية. هذه البارامترات تعتمد على العدد الذري (Z) للوسط الماص وكانت قابلة للتطبيق في الأوساط الماصة ذات العدد الذري من $Z=1$ إلى 92. وحصل توافق جيد بين القيم لقدرة إيقاف الإلكترونات والبوزترونات الكلية لبعض العناصر وتلك القيم المحسوبة بواسطة Seltzer و Berger [7].

وأيضاً قام الباحثان Hasan Gumus و Mustafa Tufan بدراسة قدرة إيقاف الإلكترونات والبوزترونات في بعض المركبات البيولوجية ضمن مدى الطاقة 100 eV إلى 1 GeV حيث أن قدرة الإيقاف الكلية نتجت من جمع قدرة الإيقاف الإلكترونية التصادمية والإشعاعية لمواد الهدف ثم استخدم تقريب التباطؤ المستمر (CSDA) (continuous slowing down approximation) لحساب طول المسار للجسيمة الساقطة على الهدف. استخدمنا تقريب الشحنة الفعالة لحساب قدرة الإيقاف التصادمية وطبقنا تعبير تحليلي (رياضي) لطول الإشعاع للحصول على قدرة الإيقاف الإشعاعية [8]. وكذلك قامت الباحثة Sabah Mahmoud وأخريات بدراسة قيم قدرة الإيقاف الإشعاعية والتصادمية والقدرة الكلية وطول المسار الإشعاعي وزمن التوقف لبوزترونات β^+ الساقطة على بعض المواد باستخدام معادلة بيت-بلوخ النسبية ومدى طاقة يبدأ من (0.1-10) MeV وقد بينت النتائج أن قيم قدرة الإيقاف الإشعاعية أكثر من قيم قدرة الإيقاف التصادمية بالنسبة لقدرة الإيقاف الكلية وقورنت النتائج مع البرنامج العالمي estar وقد حققت تطابق جيد [9].

2- قدرة الإيقاف للجسيمات المشحونة الخفيفة :- Stopping power for light charged particle

يتم تعريف قدرة الإيقاف التصادمية بأنها تصادم غير مرن مع الإلكترونات الذرية وهذا يؤدي إلى الاثارة والتأين وينتهي في نهاية المطاف إلى امتصاص طاقة (من خلال الاهتزازات الذرية والجزئية) [2]

عندما تكون الطاقة للإلكترونات الساقطة أقل من (0.5 MeV) تفقد هذه الإلكترونات الطاقة عن طريق الاثارة المدارية لذرات مادة الهدف أو تتأين بنفس أسلوب انتقال الطاقة من الجسيم المشحون الثقيل إلى المادة الهدف ولأن كتلة الإلكترونات صغيرة مقارنة بكتلة الجسيم الثقيل المشحون ستكون سرعة الإلكترونات كبيرة مقارنة بسرعة الجسيم الثقيل الذي يمتلك نفس القيمة من الطاقة وهذا يعني أن فترة بقاء الإلكترونات بالقرب من ذرة من ذرات المادة سيكون صغيراً لذا سيؤدي إلى انخفاض التأين [10] ويمكن الحصول على القيمة النظرية لقدرة الإيقاف للبوتونات من العلاقة التالية [8].

$$S_{coll} = -\frac{1}{\rho} \frac{dE}{dx} = \frac{4\pi e^4}{m_e c^2} \frac{z^2}{\beta^2} \frac{Z N_A}{A} B(v) \quad (2)$$

$$B(v) = \frac{1}{2} \ln \frac{\tau^2 (T+2)}{2(m_e c^2)^2} + \frac{F(\tau)^\pm}{2} \quad (3)$$

$$\beta = \left(1 - \left(\frac{1}{T/m_e c^2}\right)^2\right)^{0.5}$$

$$\tau = T/m_e c^2$$

$$F(\tau)^- = 1 - \beta^2 + \frac{\tau^2}{8} - \frac{(2\tau+1)\ln 2}{(\tau+1)^2} \quad \text{للإلكترونات} \quad (4)$$

$$F(\tau)^+ = 2\ln 2 - \frac{\beta^2}{12} \left(23 + \frac{14}{\tau+2} + \frac{10}{(\tau+2)^2} + \frac{4}{(\tau+2)^3}\right) \quad \text{للپوزترونات} \quad (5)$$

ويمكن تعويض حدود المقدار [11] $\frac{4\pi e^4}{m_e c^2} \frac{z^2}{\beta^2} \frac{Z N_A}{A}$

حيث أن $N_A = 6.022 \times 10^{23} \frac{\text{atoms}}{\text{mol}}$ عدد أفوكادرو

$$K = 4\pi r_0^2 m_e c^2 = 0.0005099 \left(\frac{\text{eV} \cdot \text{cm}^2}{10^{15} \text{atoms}}\right)$$

حيث $r_0 = \frac{e^2}{m_e c^2} = 2.818 \times 10^{-15} \text{m}$ نصف قطر الإلكترون electron radius.

$$K = \frac{4\pi r_0^2 m_e c^2 N_A}{10^2 A} = \frac{0.3071}{A} \left(\frac{\text{KeV} \cdot \text{cm}^2}{\text{mg}}\right)$$

$$\frac{-1}{\rho} \left(\frac{dE}{dx}\right)_{coll} = 0.30707 \times \frac{Z}{\beta^2 A} B(v) \left(\frac{\text{MeV} \cdot \text{cm}^2}{\text{g}}\right) \quad (6)$$

3- الحسابات و النتائج :- Calculations and results

لقد استخدم برنامج الماتلاب لحساب قدرة ايقاف الالكترتون والبوزترون في السليكون والجرمانيوم ويوديد الصوديوم والماء والهواء الجاف عند مستوى سطح البحر ونسيج البلاستيك A-150 وقد تم حساب نسب العناصر في تلك المركبات وفق النسب المستحصلة من برنامج ester [12] وكما في الجدول التالي :-

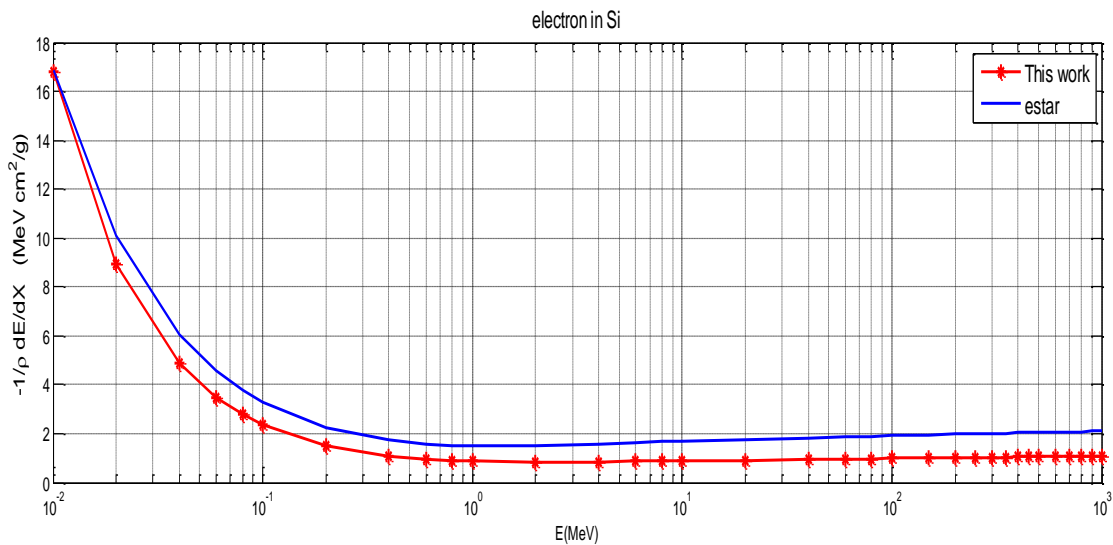
Sodium Iodide	$^{23}_{11}\text{Na}$	$^{127}_{53}\text{I}$				
	0.153373	0.846627				
Water	^1_1H	$^{16}_8\text{O}$				
	0.111894	0.888106				
Dry Air (Near Sea Level)	$^{12}_6\text{C}$	$^{14}_7\text{N}$	$^{16}_8\text{O}$	$^{40}_{18}\text{Ar}$		
	0.000124	0.755267	0.231781	0.012827		
A-150 Tissue-Equivalent Plastic	^1_1H	$^{12}_6\text{C}$	$^{14}_7\text{N}$	$^{16}_8\text{O}$	$^{19}_9\text{F}$	$^{40}_{20}\text{Ca}$
	0.101327	0.775501	0.035057	0.052316	0.017422	0.018378

فقد درست قدرة ايقاف الالكترتون في تلك العناصر والمركبات باستخدام المعادلة (2) وذلك بعد تعويض معادلة (4) في معادلة (3) لمدى واسع من الطاقة (0.01-1000) MeV وقد قورنت بنتائج برنامج ester ، اما قدرة ايقاف البوزترون فقد درست لنفس الاهداف السابقة وب تطبيق نفس المعادلة لكن تم تعويض معادلة (5) في المعادلة (3) ولنفس مدى الطاقة وقد قورنت مع نتائج دراسة M.J. Berger and S.M. Seltzer وكانت النتائج على شكل رسوم بيانية كما مبينة في الاشكال التالية (1a,b,c,d,e,f)، (2a,b,c,d,e,f).

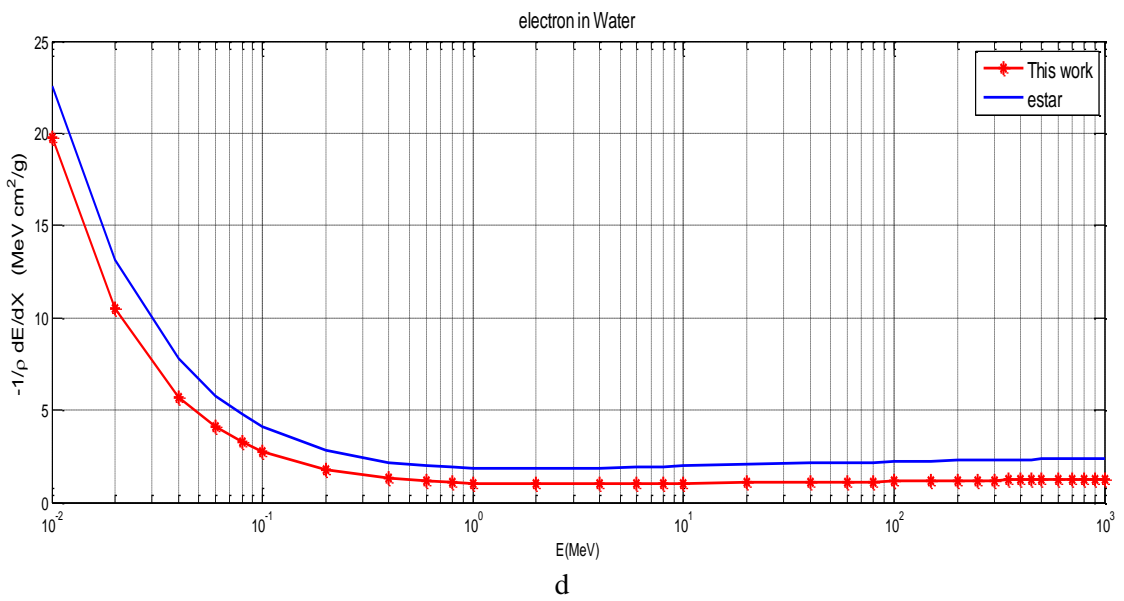
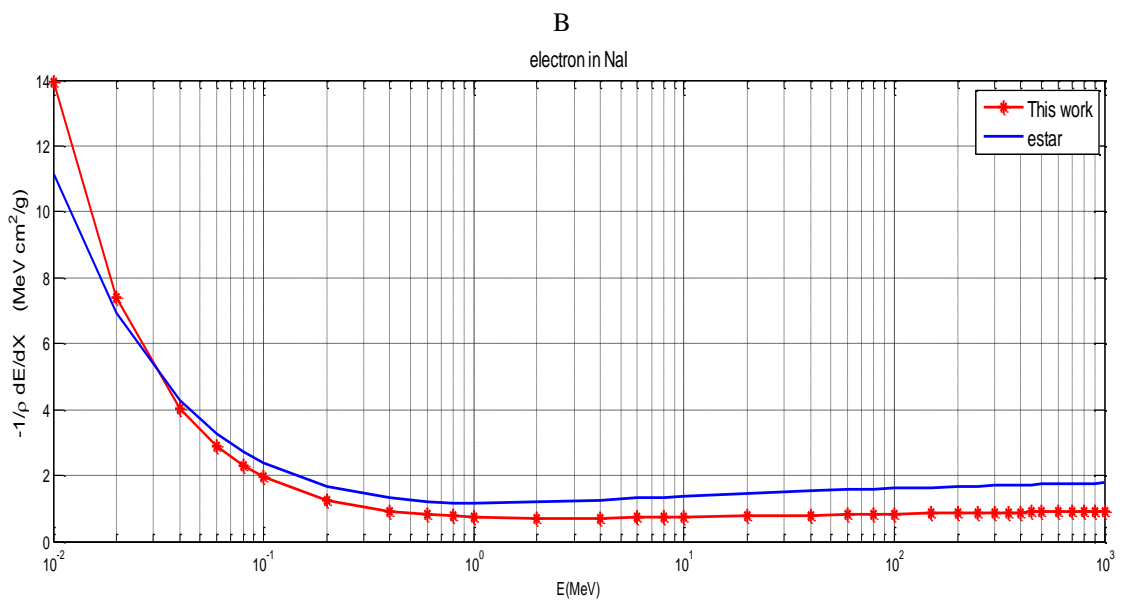
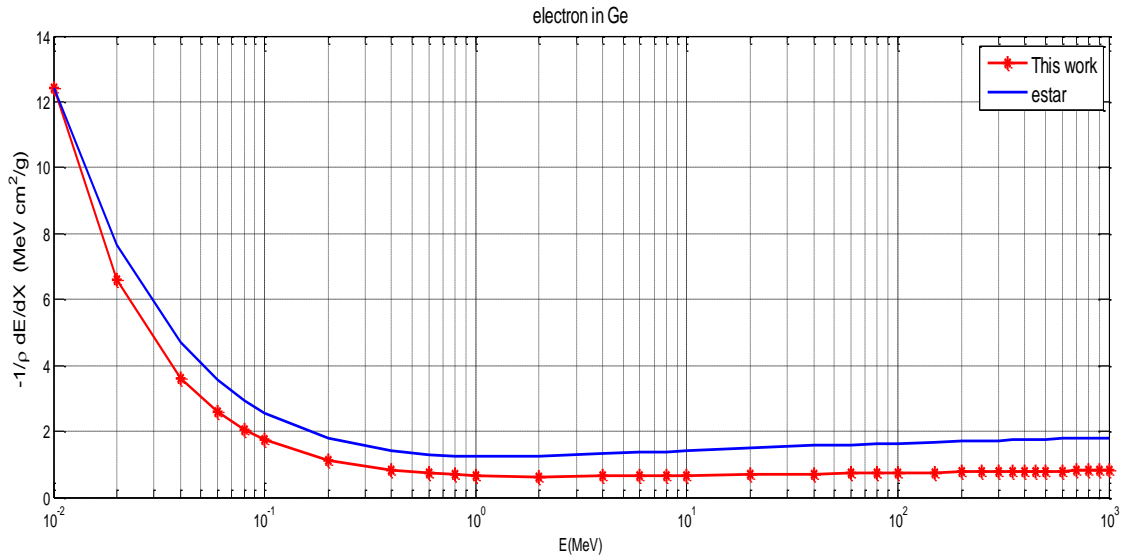
الشكل (1a,b) يمثل حساب قدرة الايقاف التصادمية للألكترونات في السليكون والجرمانيوم حيث نلاحظ عند بداية مدى الطاقة التقارب الشديد بين نتائج البحث مع برنامج قدرة الايقاف العملي ولكنها تبدأ بالتباعد تقريبا من (0.02 MeV) ولكن بفارق بسيط اما بالنسبة ليوديد الصوديوم كما في الشكل (1c) فإنه يبدأ متباعدة قليلا ولكن عند طاقة (0.02 - 0.03)MeV تكون نتيجة فقدان الطاقة تصل الى حد الانطباع مع البرنامج العملي ومن ثم بزيادة سرعة الجسم الخفيفة نقل قدرة الايقاف تدريجيا وتصل الى مرحلة الاستقرار لما تبقى من مدى الطاقة المستخدم .

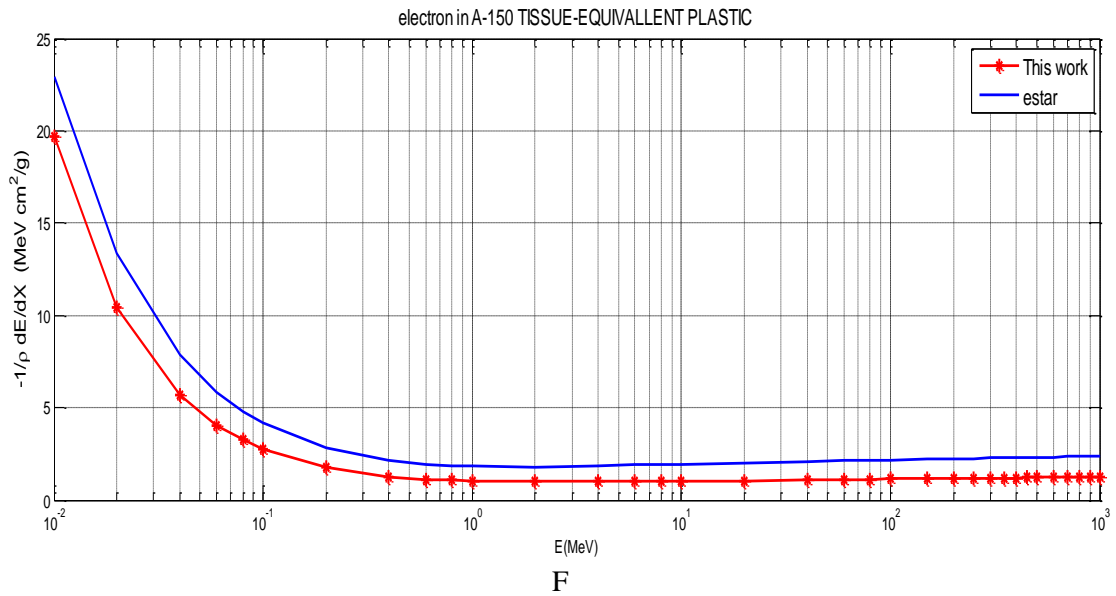
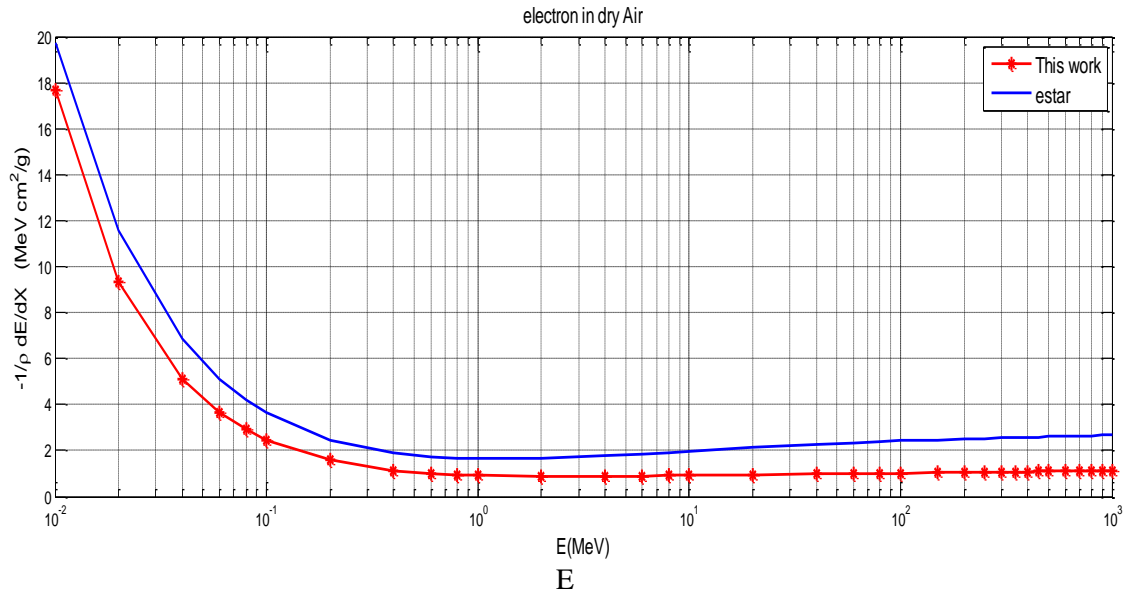
اما عند قصف الماء والبلاستيك بالالكترتون فإن منحني البيانات سيكون موازي لمنحني بيانات قدرة الايقاف العملية (estar) مع فارق بسيط.

ولكن عند قصف الهواء الجاف فإنها تسلك سلوك مشابه للعناصر (Si, Ge) و المركب (NaI) مع اختلاف بقيم قدرة الايقاف حيث يلاحظ ارتفاع قيم قدرة الايقاف تدريجيا عند نهاية مدى الطاقة المستخدم .

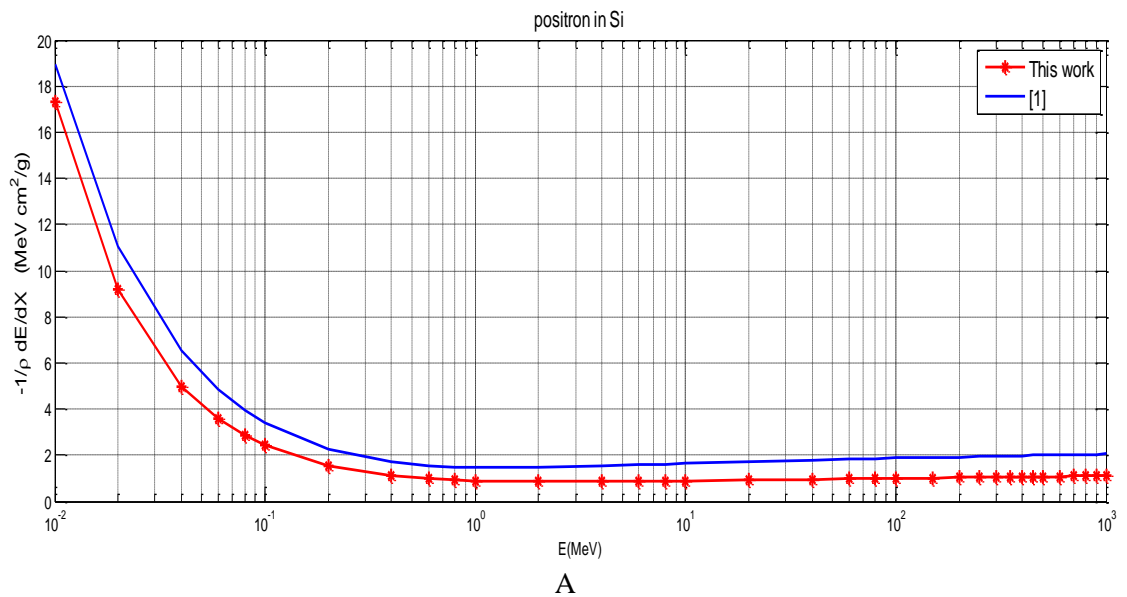


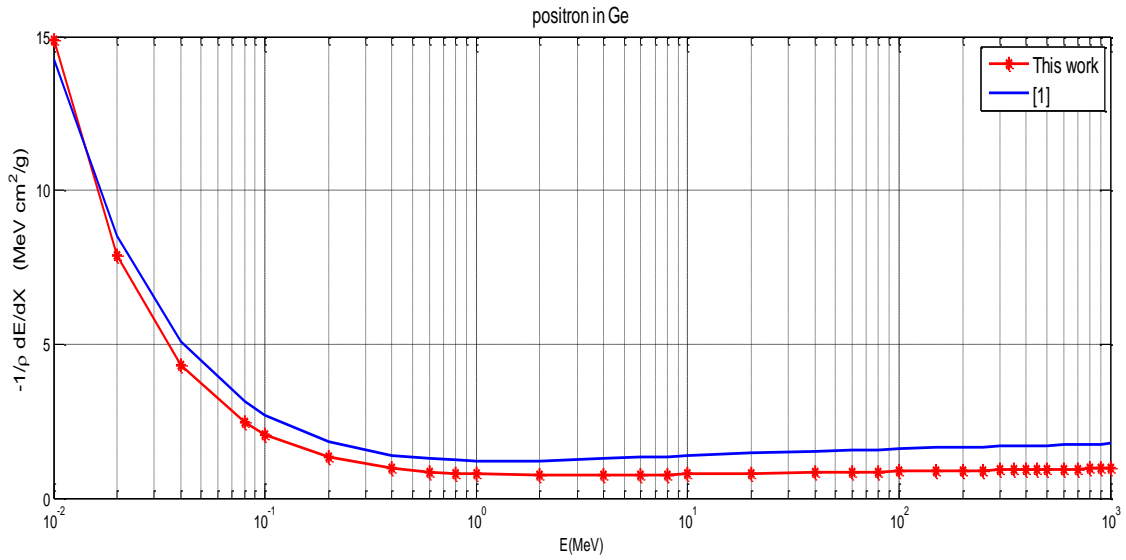
a



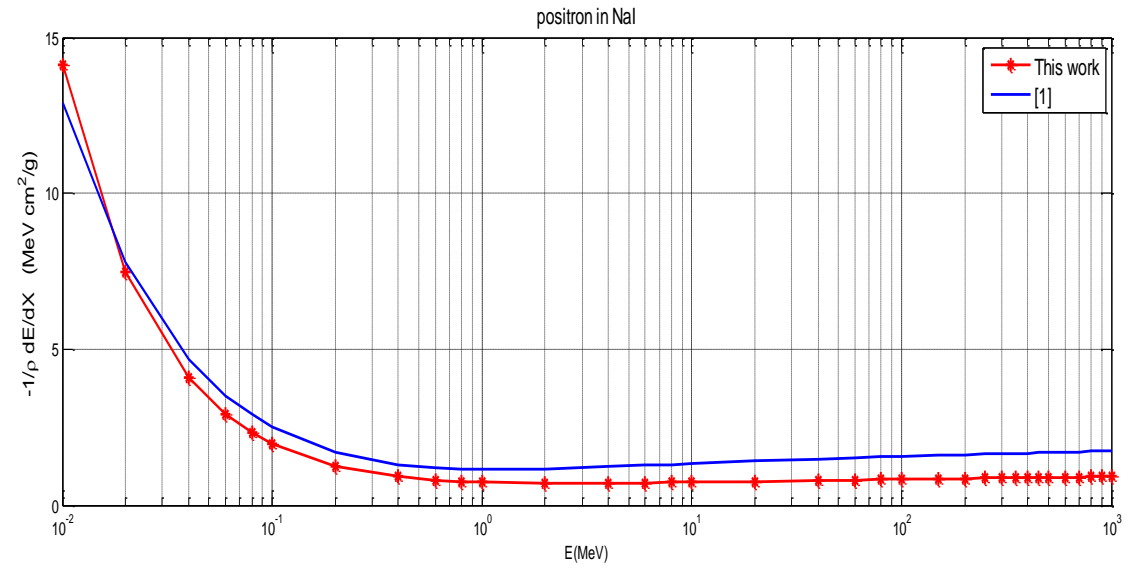


شكل (1a,b,c,d,e,f) يوضح قدرة ايقاف الالكترن في السليكون والجرمانيوم ويوديد الصوديوم والماء والهواء الجاف عند مستوى سطح البحر ونسيج البلاستيك A-150 على التوالي .

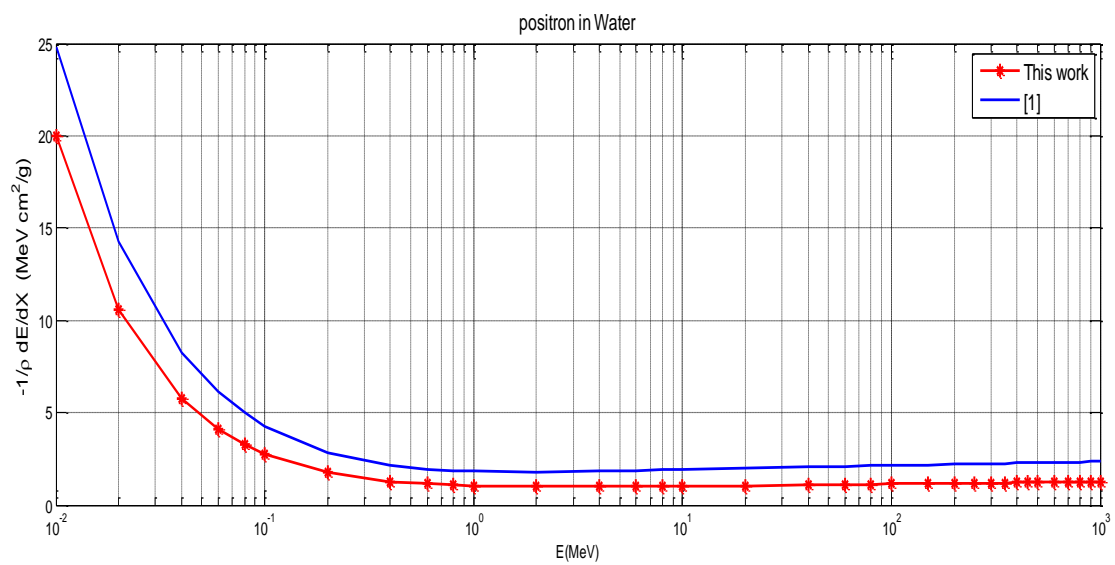




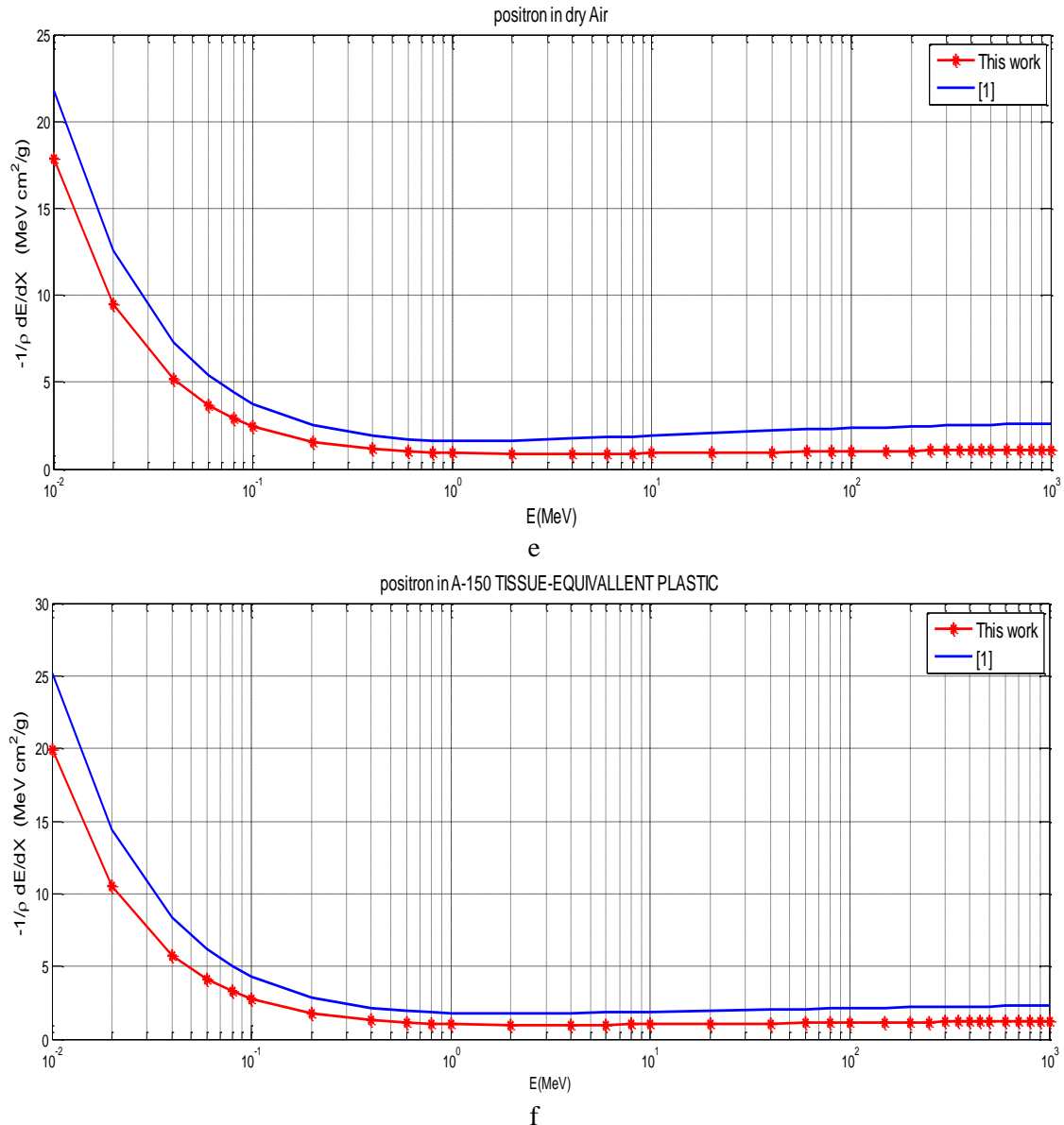
b



C



d



شكل (2a,b,c,d,e,f) يوضح قدرة ايقاف البوزترون في السليكون والجرمانيوم ويوديد الصوديوم والماء والهواء الجاف عند مستوى سطح البحر ونسيج البلاستيك A-150 على التوالي .

الاستنتاجات :- Conclusion

ان قدرة الايقاف للالكترون والبوزترون تسلكان سلوك متماثل بينهما حيث تأخذ اعظم قيمة لها عندما تمتلك الجسيمة طاقة واطنة ثم تتناقص خسارة الطاقة تدريجيا كلما زادت سرعة الجسيمة ثم يكون فقدان ضئيل للطاقة او يكاد يكون غير ملحوظ ضمن مدى الطاقة (0.6-10) MeV وذلك لأنها جسيمات خفيفة فهي تخترق الهدف ثم ازدياد قدرة الايقاف بقدر بسيط ضمن مدى الطاقة (10-1000) MeV ، كذلك فان اعظم قدرة ايقاف للبوزترون هي اكبر من اعظم قدرة ايقاف للالكترون في جميع الاهداف التي درست .

References :

- [1] M.J. Berger and S.M. Seltzer (1982) Stopping powers and ranges of electrons and positrons. National Bureau of Standards Report NBSIR 82-2550 A .
- [2] R. A. Abbad "Analytical Study of the Specific energy loss and radiation length X_0 of Positron for Chromium $^{52}_{24}\text{Cr}$ ", Journal of Natural Sciences Research Vol.3, No.15(2013) .
- [3] W. AL kazraji , "Energy Stopping Power and Straggling On Swift Ions Near Plan Surface" , M.Sc. Thesis , AL – Mustansiriya University , (2000) .
- [4] P.Sigmund and A.Schinner, "Binary theory of light Ion stopping " , PrepSubm, Nucl. Instr and Meth.B,Vol.193(2002).
- [5] A . Csete, "Experimental Investigations of The Energy Loss of Slow Protons and Antiprotons in Matter", M.Sc. Thesis , Instute of Physics And Astronomy , University of Aarhus (2002).
- [6] - H.D .Betz , " Behr's Adiabatic Criterion and Effective Charge Of Heavy Ions" , Nucl.Inst.and Math.132(1976) .
- [7] A. Saxena, H.Singh and Priyanka Agrawal" Stopping Power of Electrons and Positrons for C, Al, Cu, Ag, Au, Pb,Fe, U, Ge, Si and Mo" Applied Physics Research Vol. 2, No. 2(2010).
- [8] Mustafa Tufan و Hasan Gumus "Stopping power and CSDA range calculationsfor incident electrons and positrons in breast and brain tissues" Radiat Environ Biophys (2013) .
- [9] S. Mahmoud, E. Mohamad and R. Abduala" Estimation Of the Total Energy Loss of Positrons in Copper and Nickel" Journal of Babylon University/Pure and Applied Sciences/ No.(7)/ Vol.(22)(2014).
- [10] W. E. Meyerhof , " Elements of Nuclear Physics", McGraw-Hill, New York , (1967).
- [11] J. F. Ziegler , " The Stopping of Energetic Light Ions in Elemental Matter " , Rev. Appl. Phys , Vol. 85 , p.p. (1249-1272) , (1999) .
- [12] NIST ESTAR. Available from <http://physics.nist.gov/PhysRefData/Star/Text/ESTAR.html> .